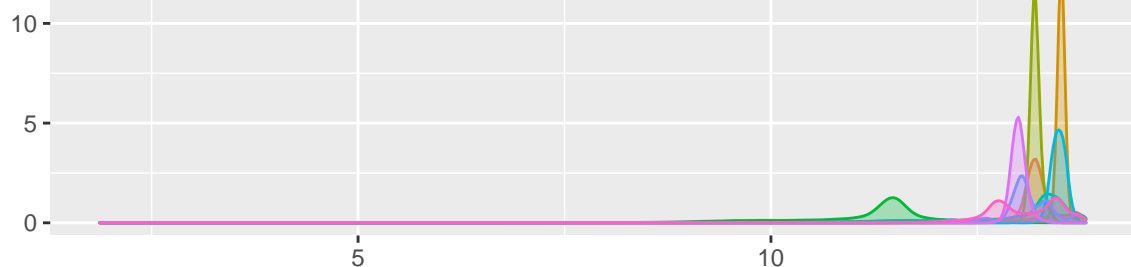
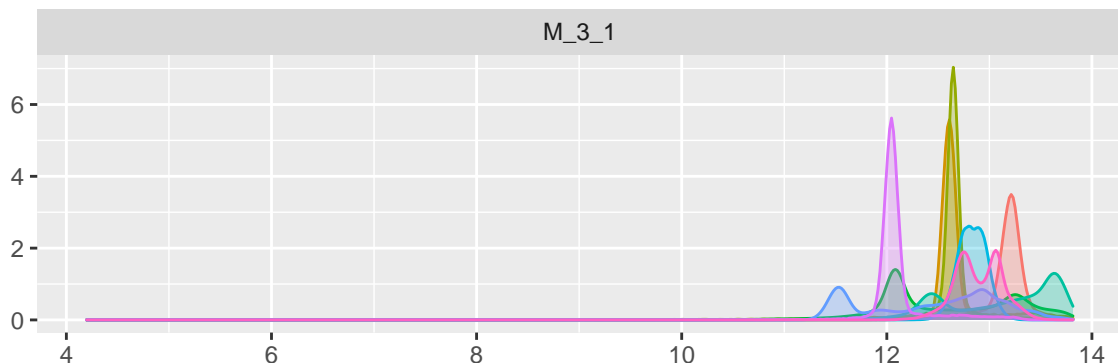


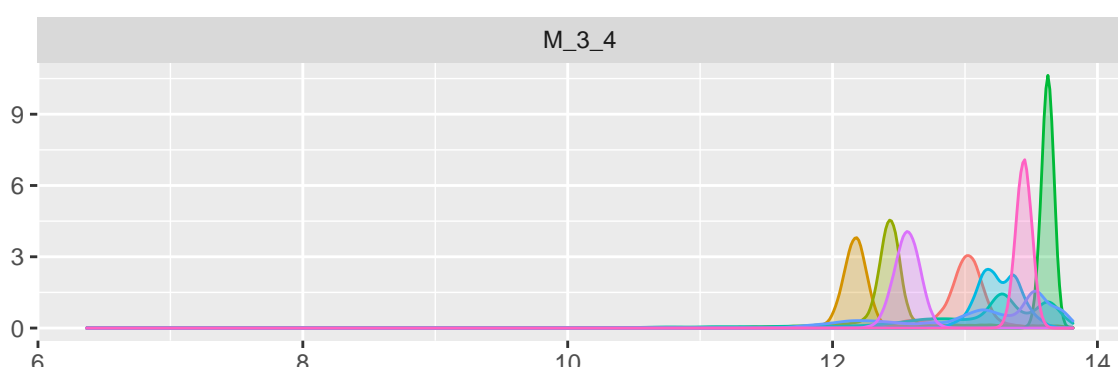
M_2_4



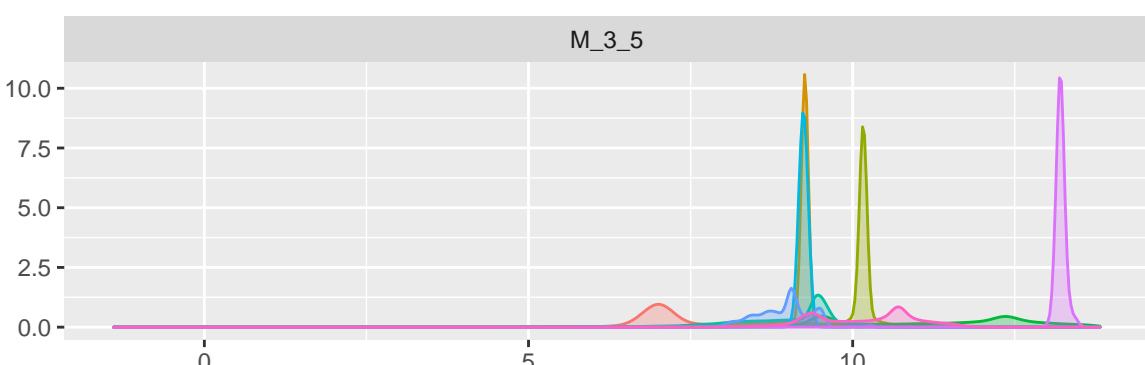
M_3_1



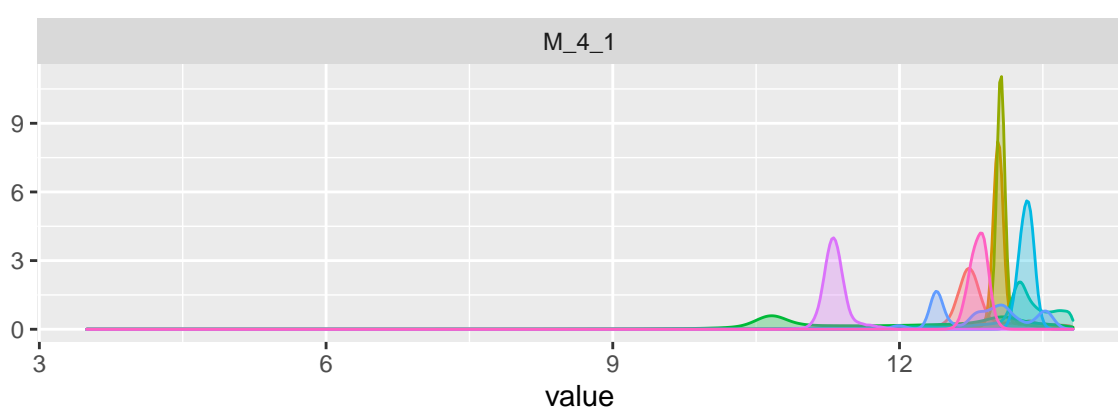
M_3_4



M_3_5



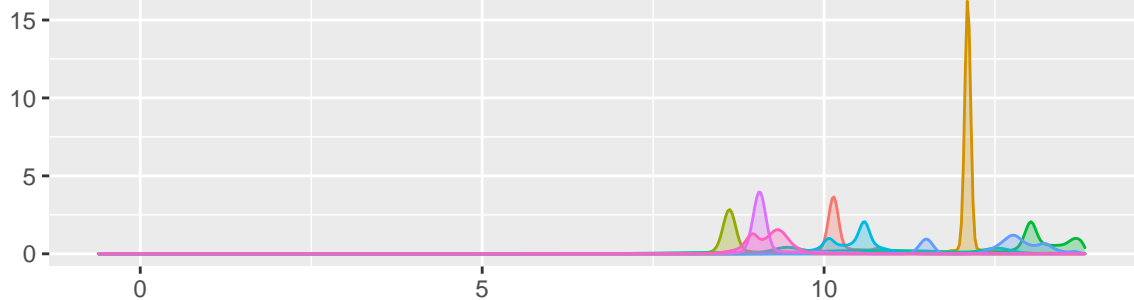
M_4_1



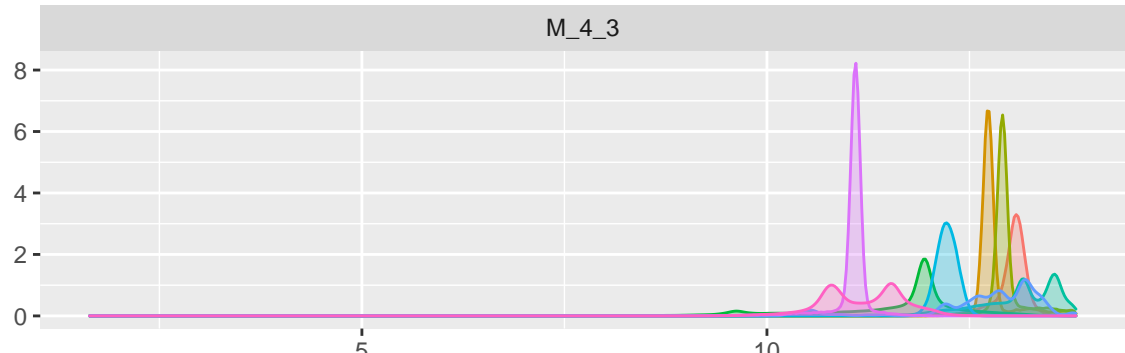
Chain

- 1
- 2
- 3
- 4
- 5
- 6
- 7
- 8
- 9

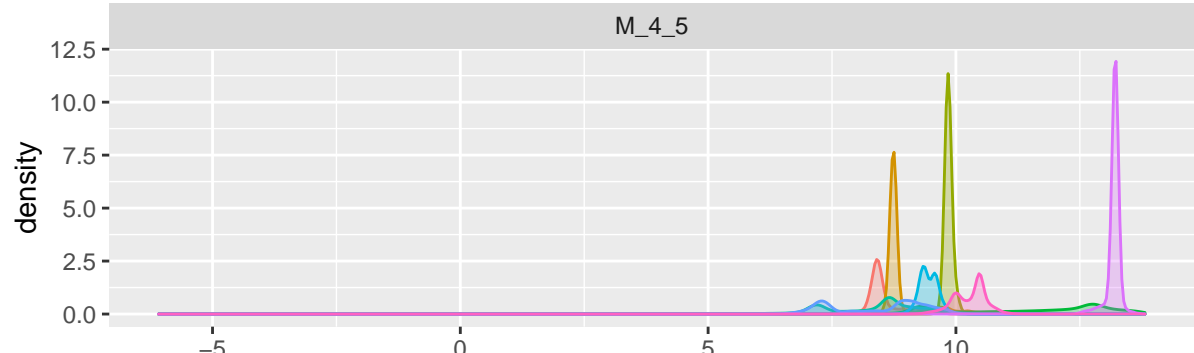
M_4_2



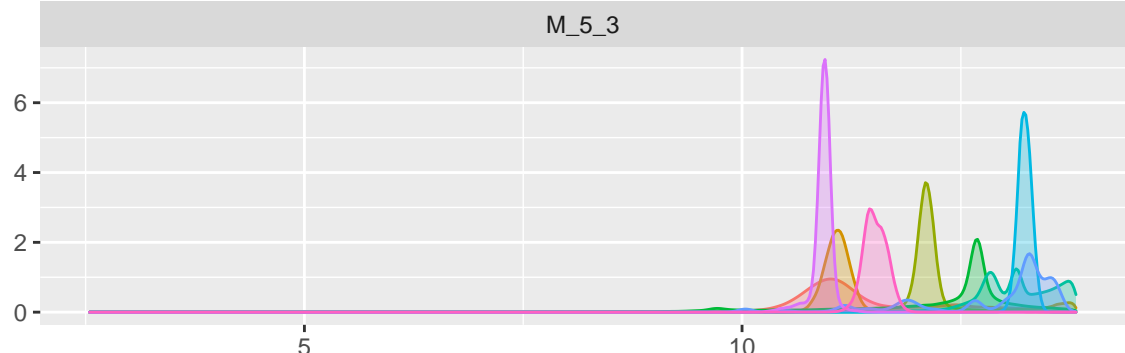
M_4_3



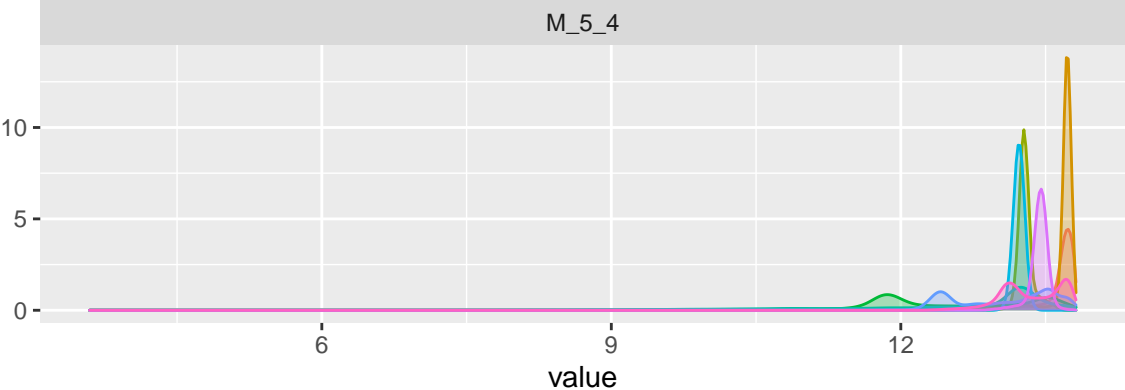
M_4_5



M_5_3



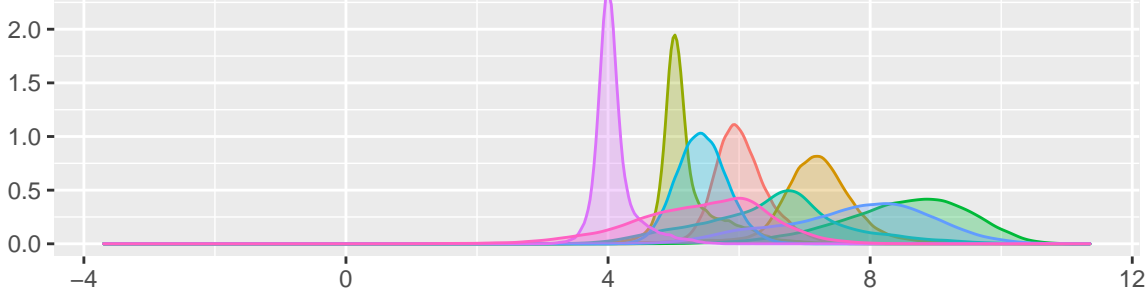
M_5_4



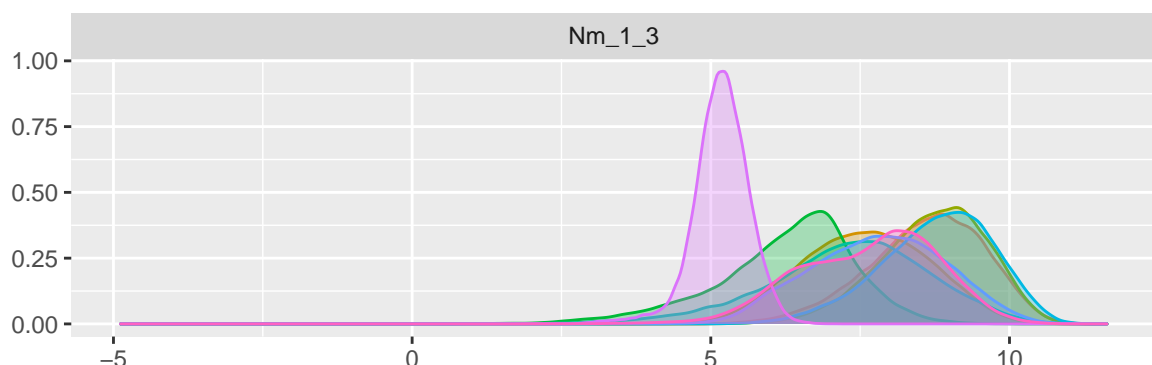
Chain

- 1
- 2
- 3
- 4
- 5
- 6
- 7
- 8
- 9

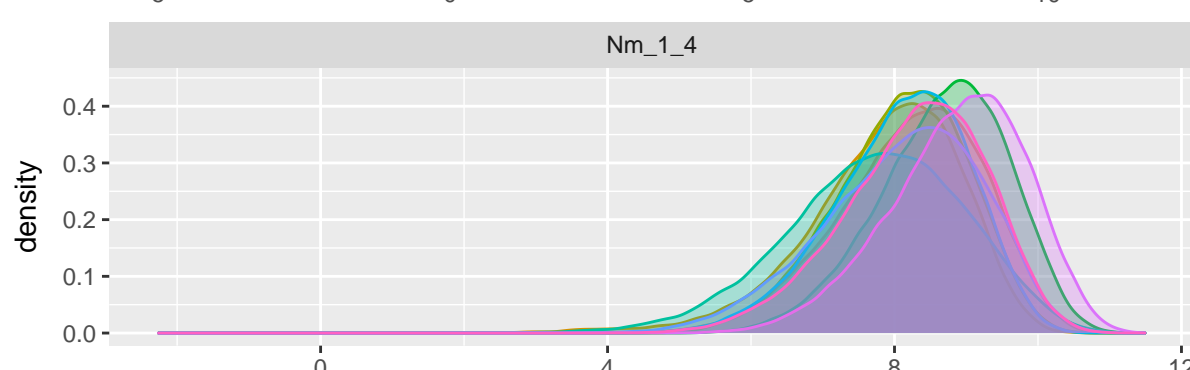
Nm_1_2



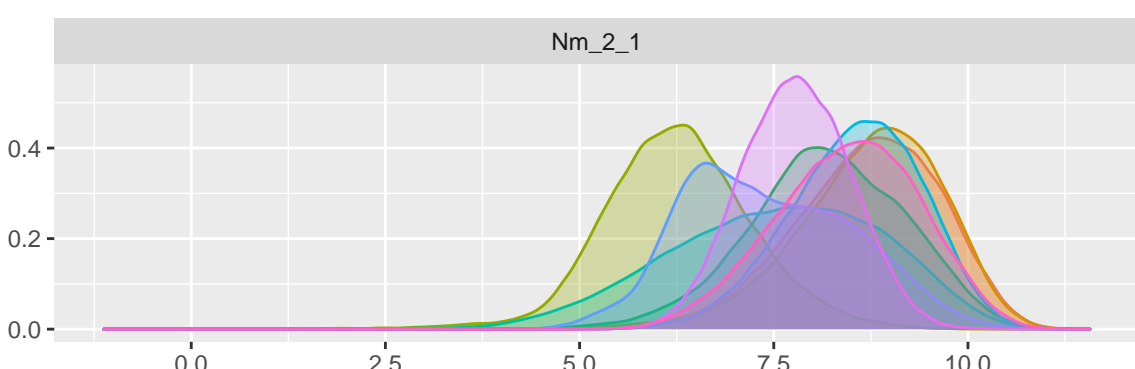
Nm_1_3



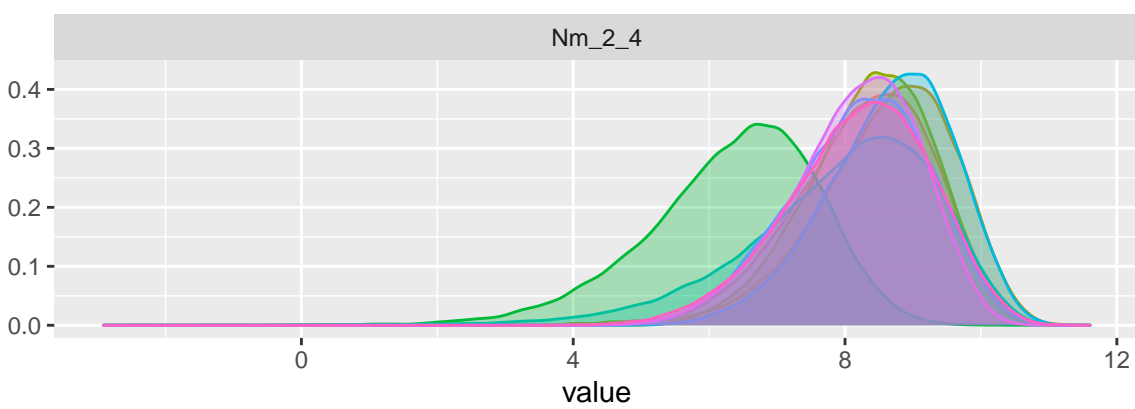
Nm_1_4



Nm_2_1



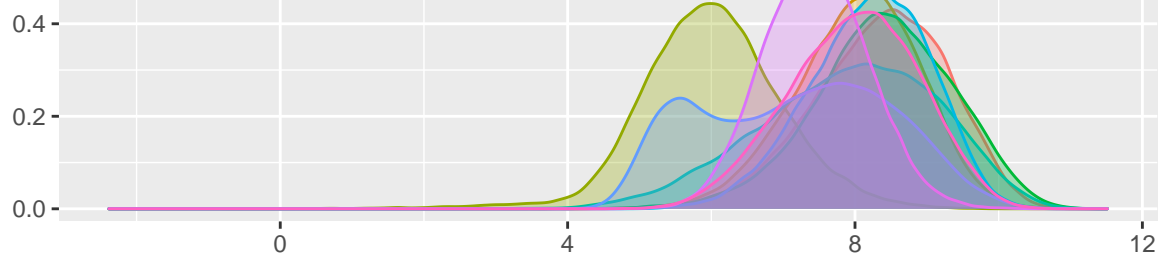
Nm_2_4



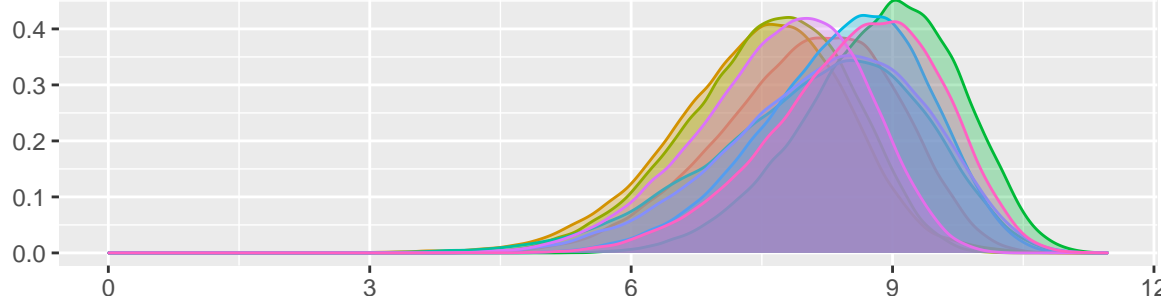
Chain

- 1
- 2
- 3
- 4
- 5
- 6
- 7
- 8
- 9

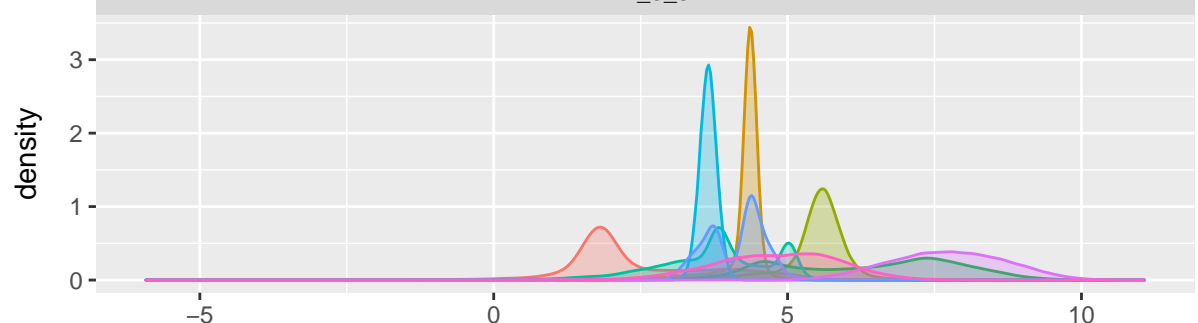
Nm_3_1



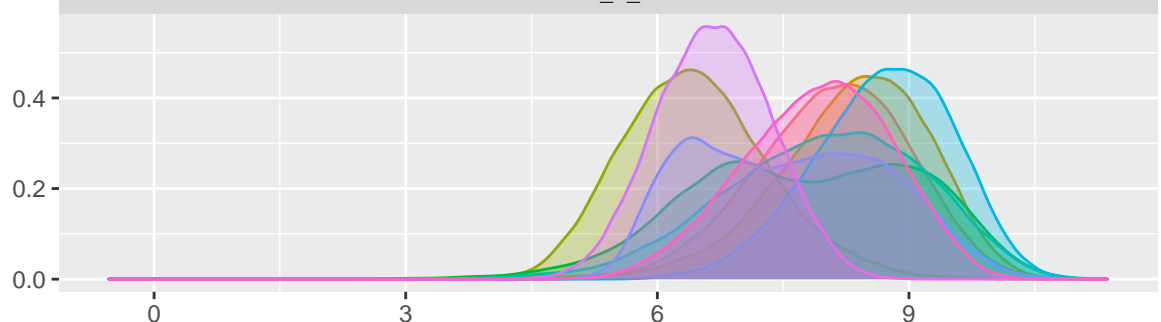
Nm_3_4



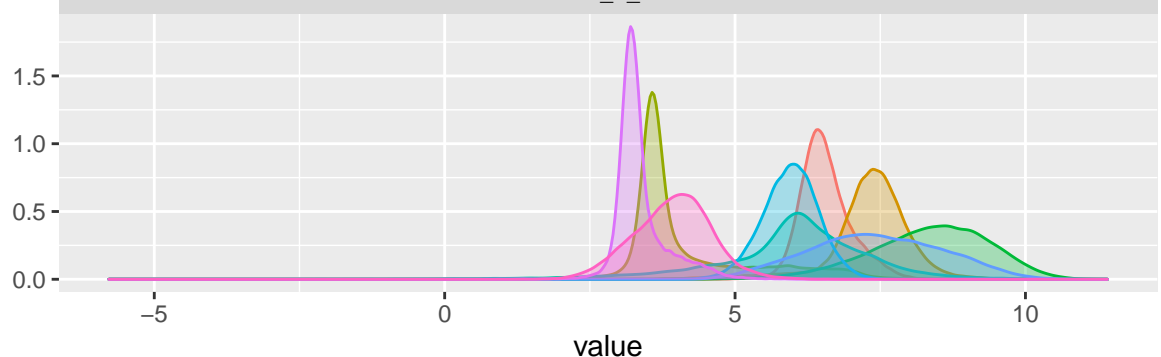
Nm_3_5



Nm_4_1



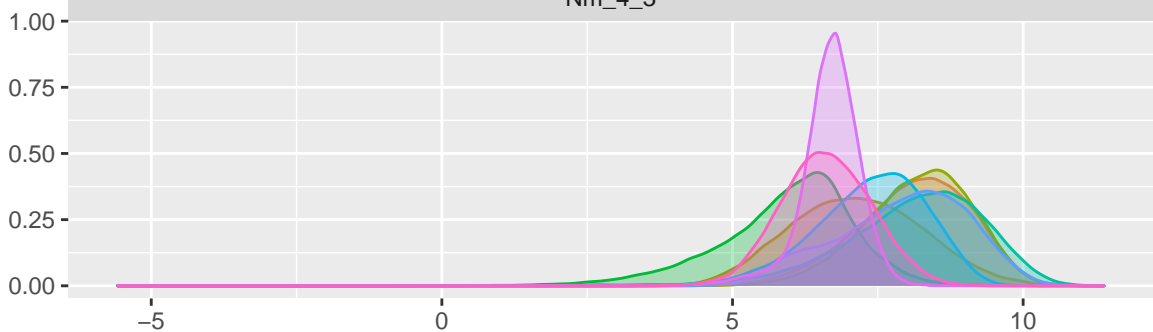
Nm_4_2



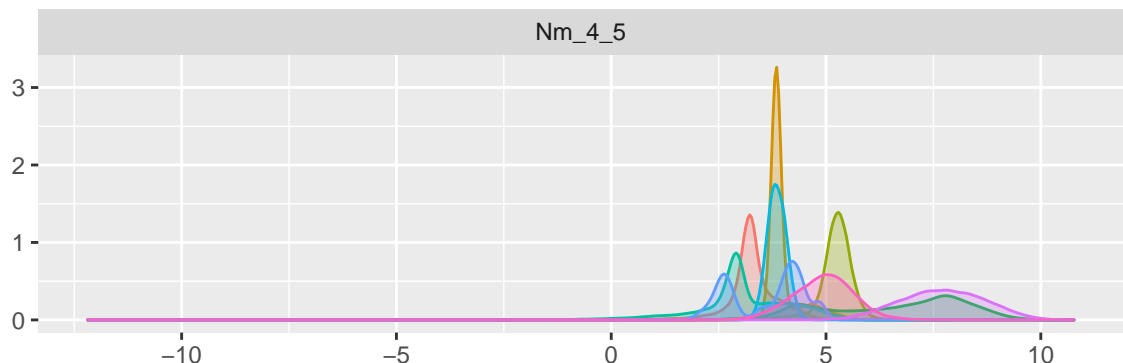
Chain

- 1
- 2
- 3
- 4
- 5
- 6
- 7
- 8
- 9

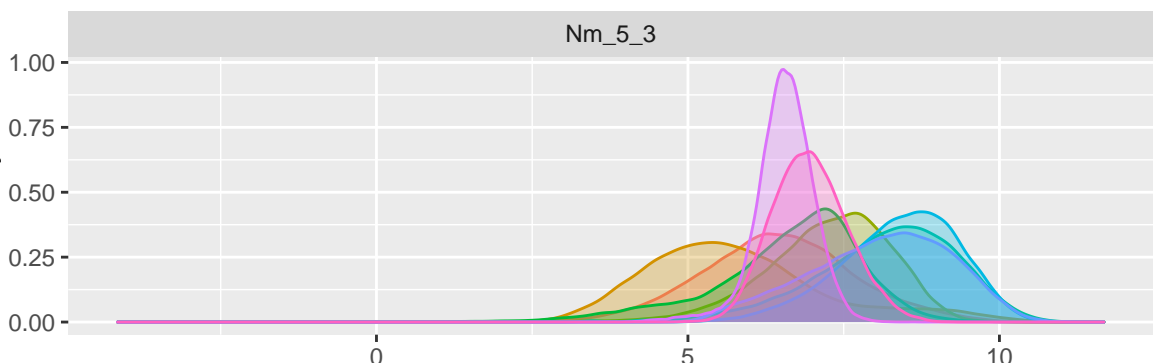
Nm_4_3



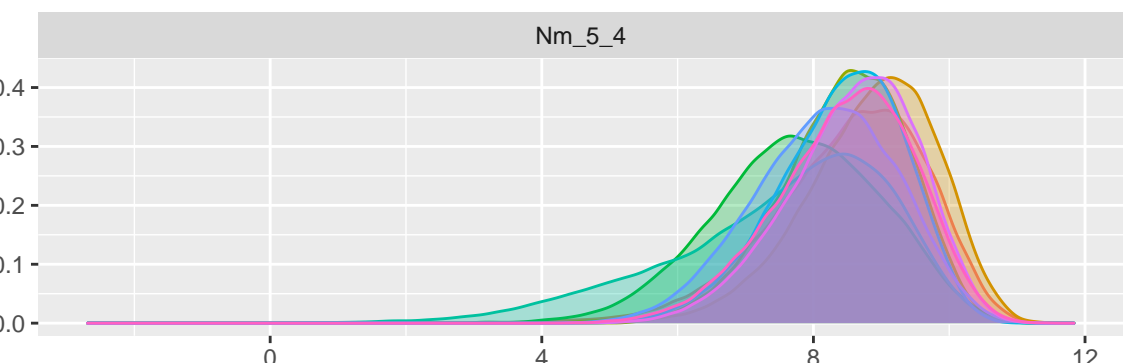
Nm_4_5



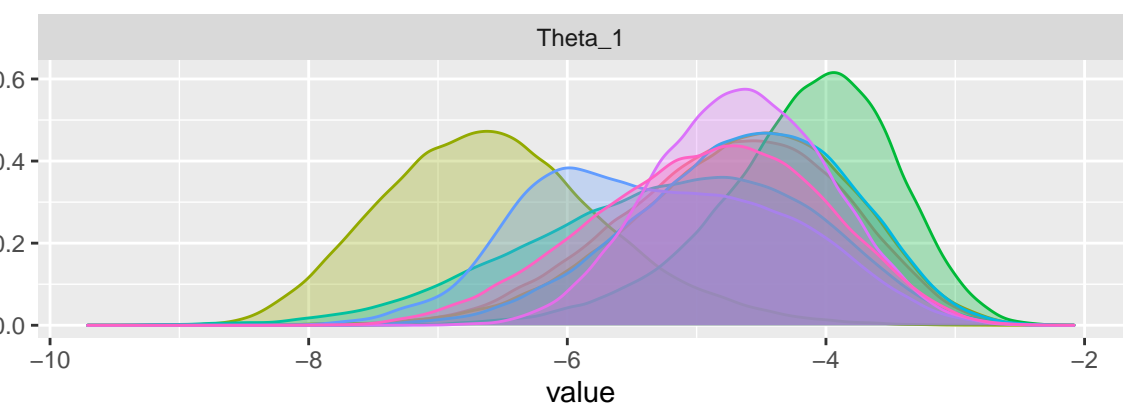
Nm_5_3



Nm_5_4



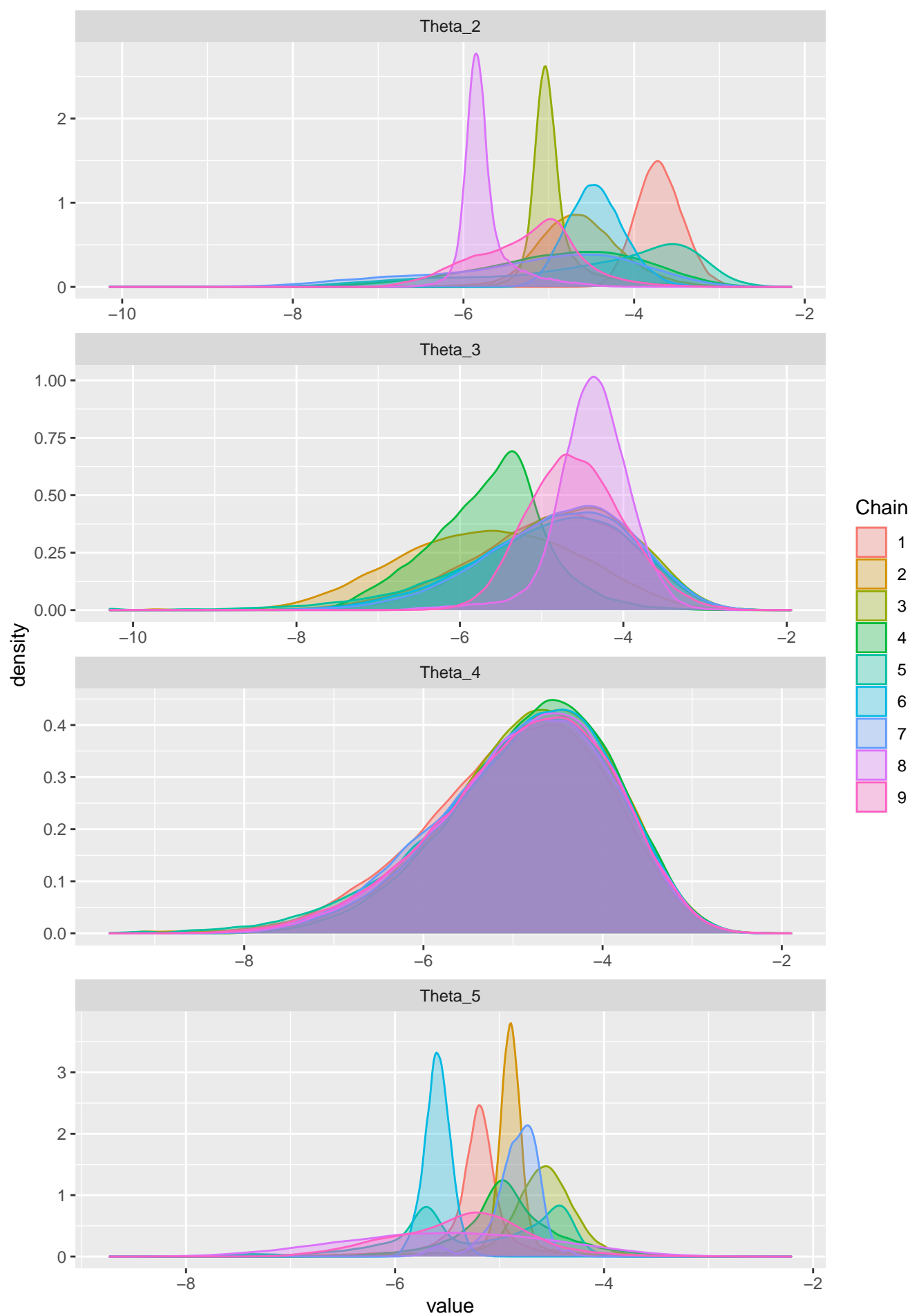
Theta_1

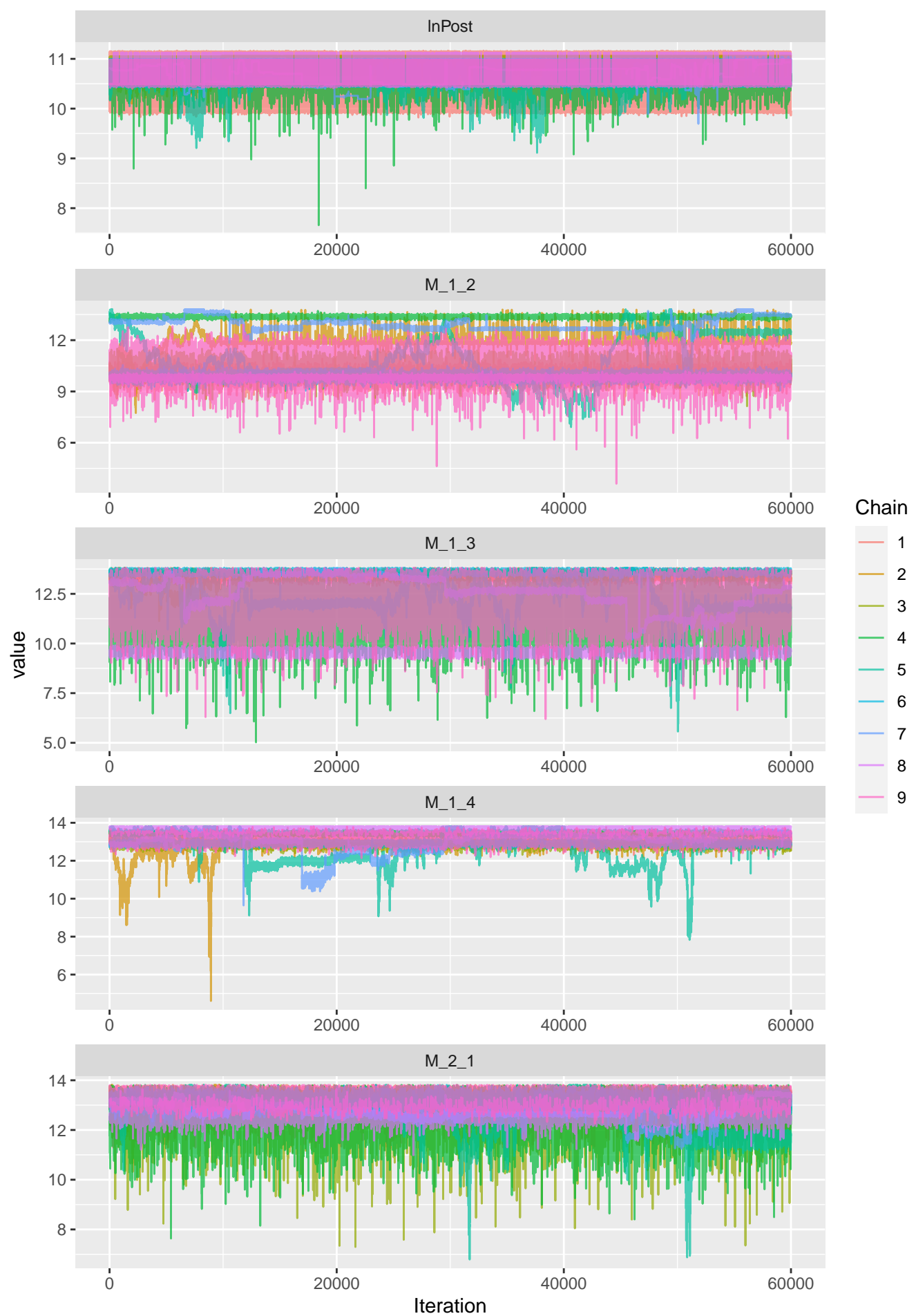


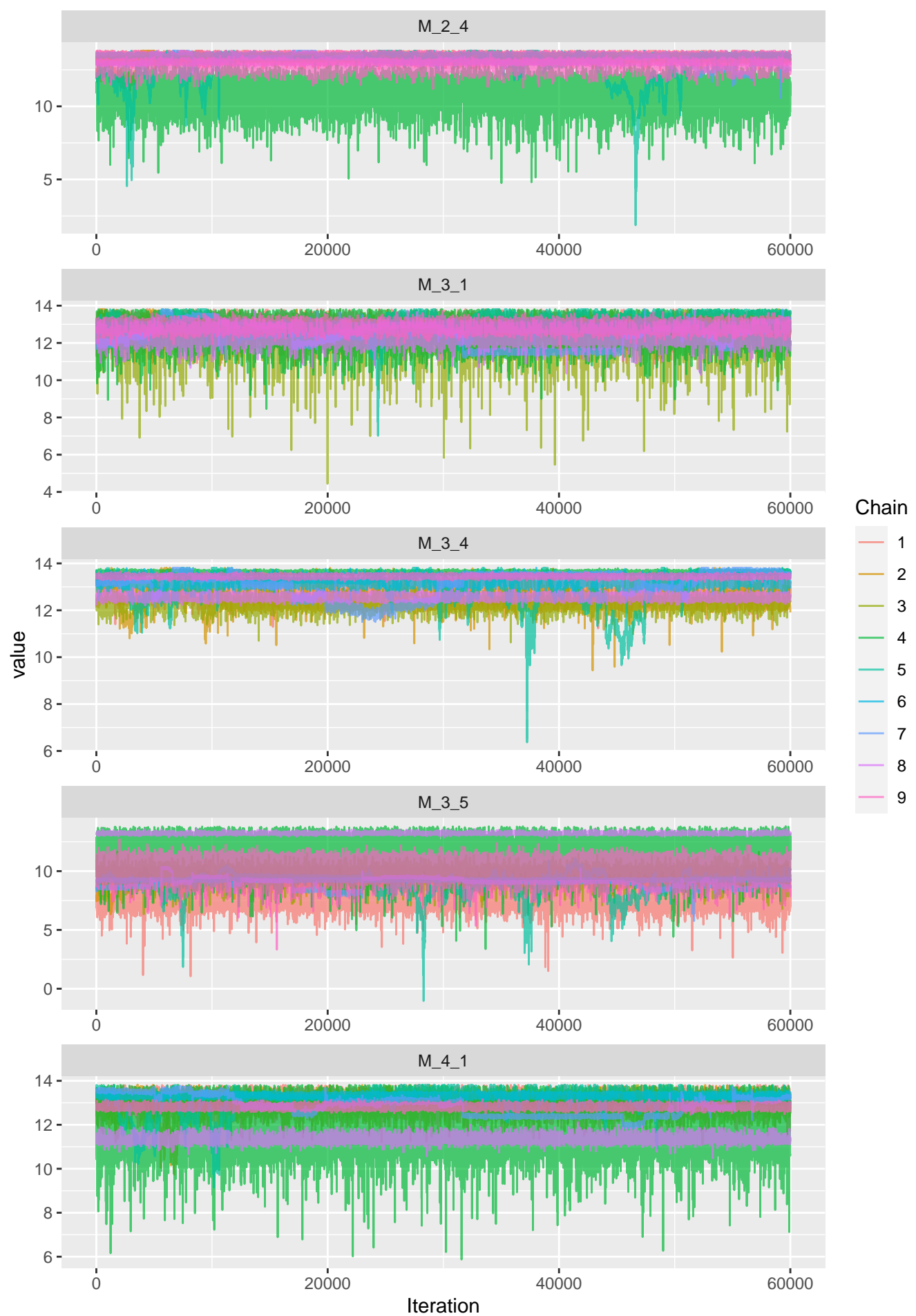
Chain

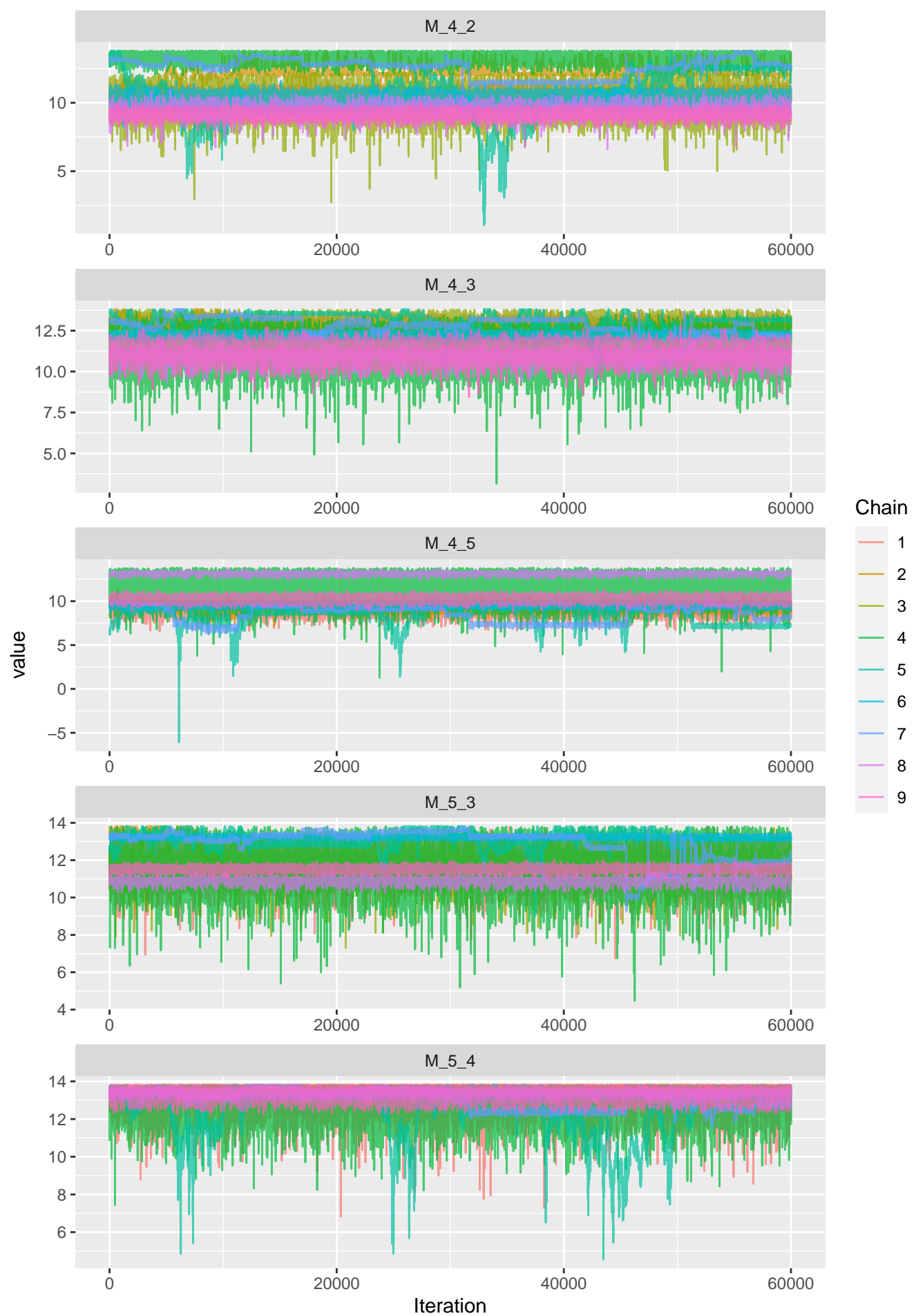
- 1
- 2
- 3
- 4
- 5
- 6
- 7
- 8
- 9

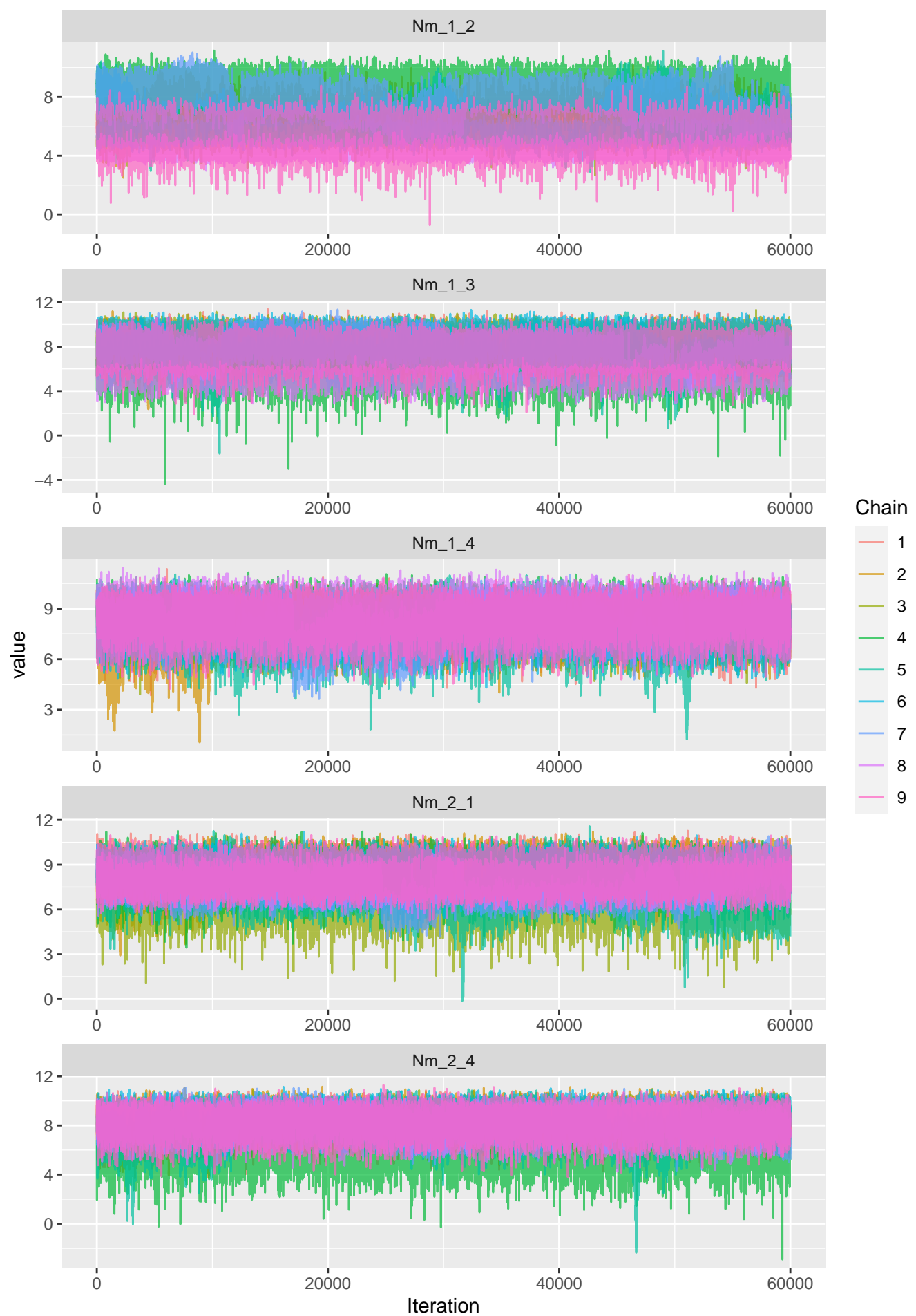
Theta_2

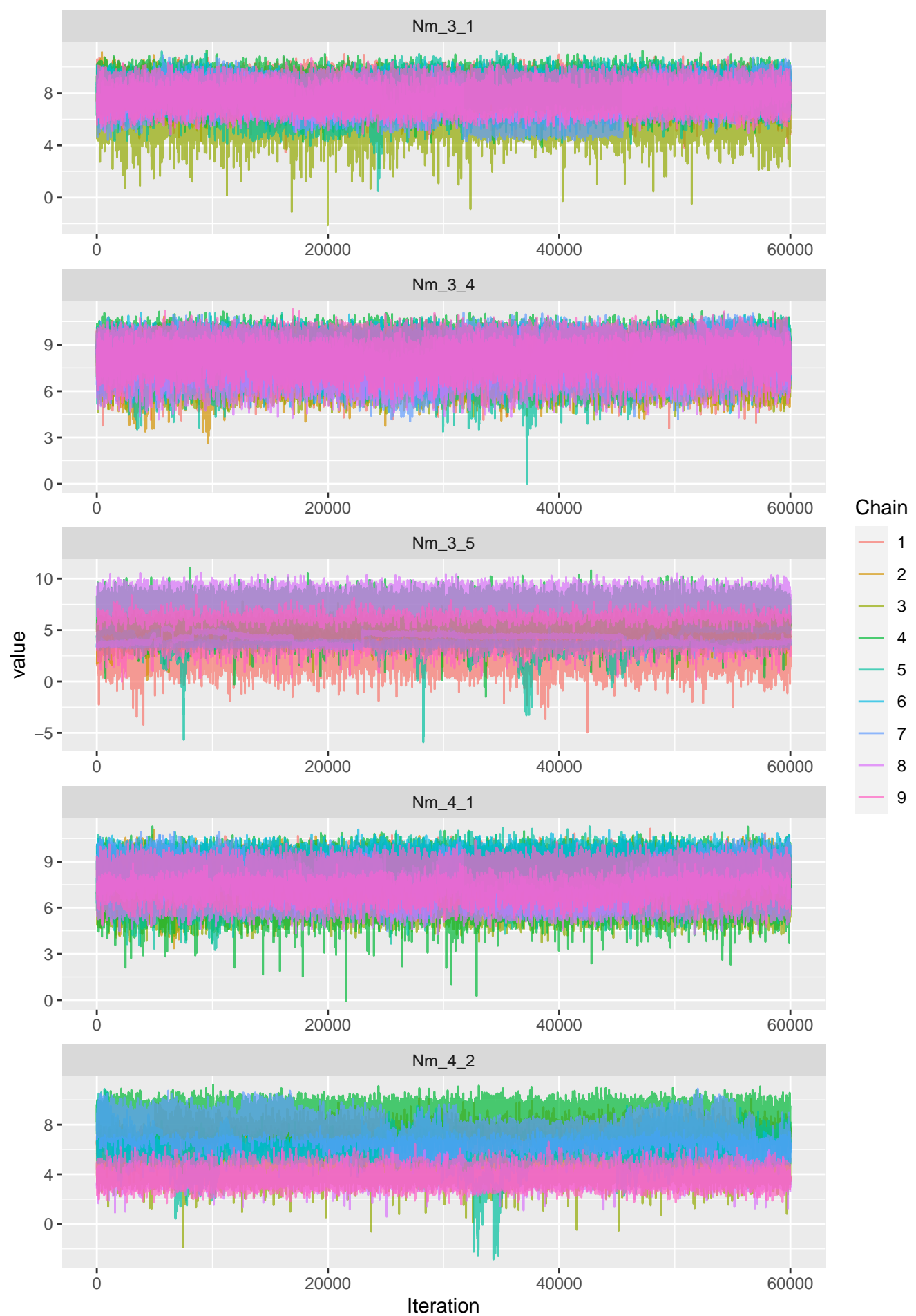


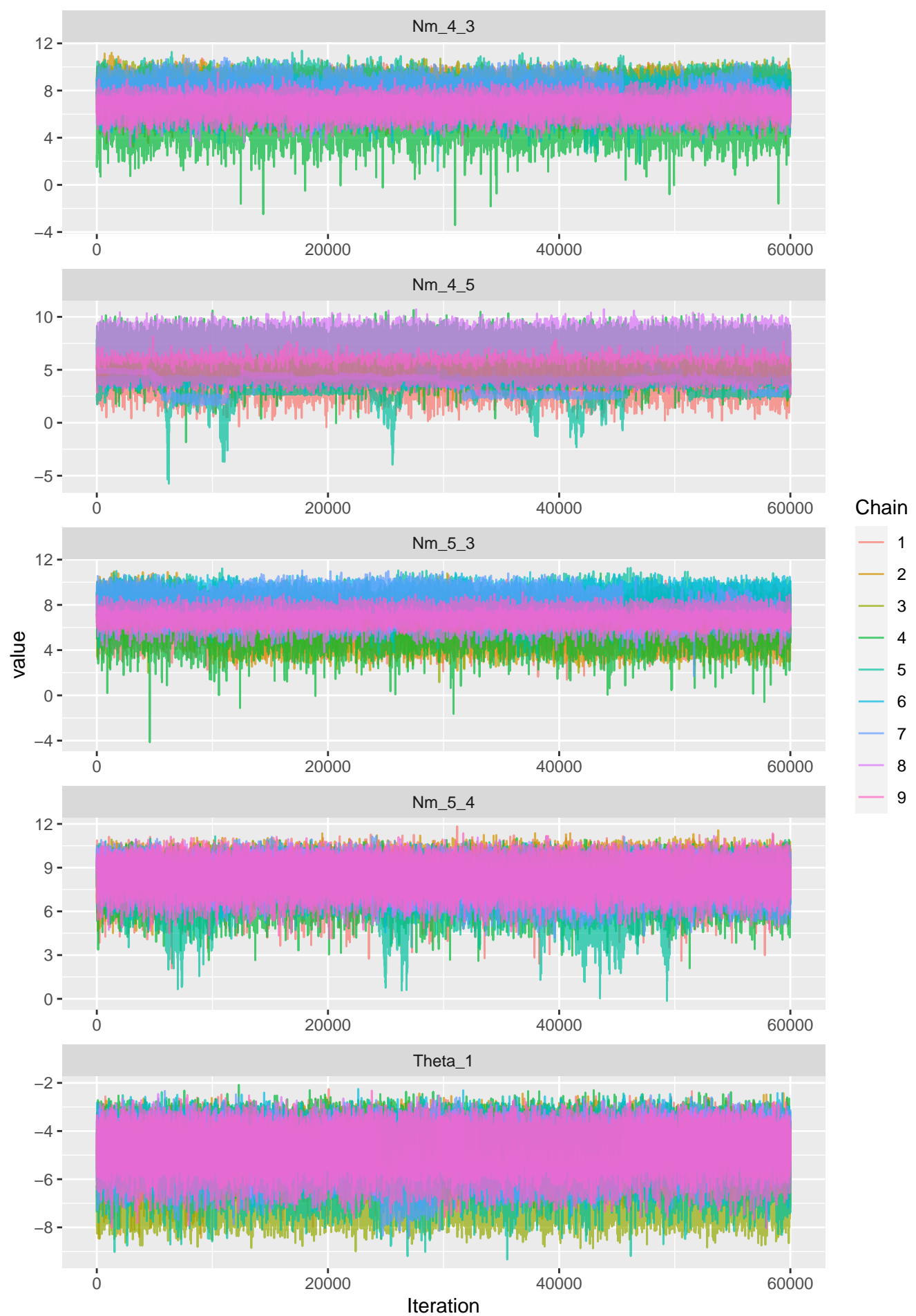


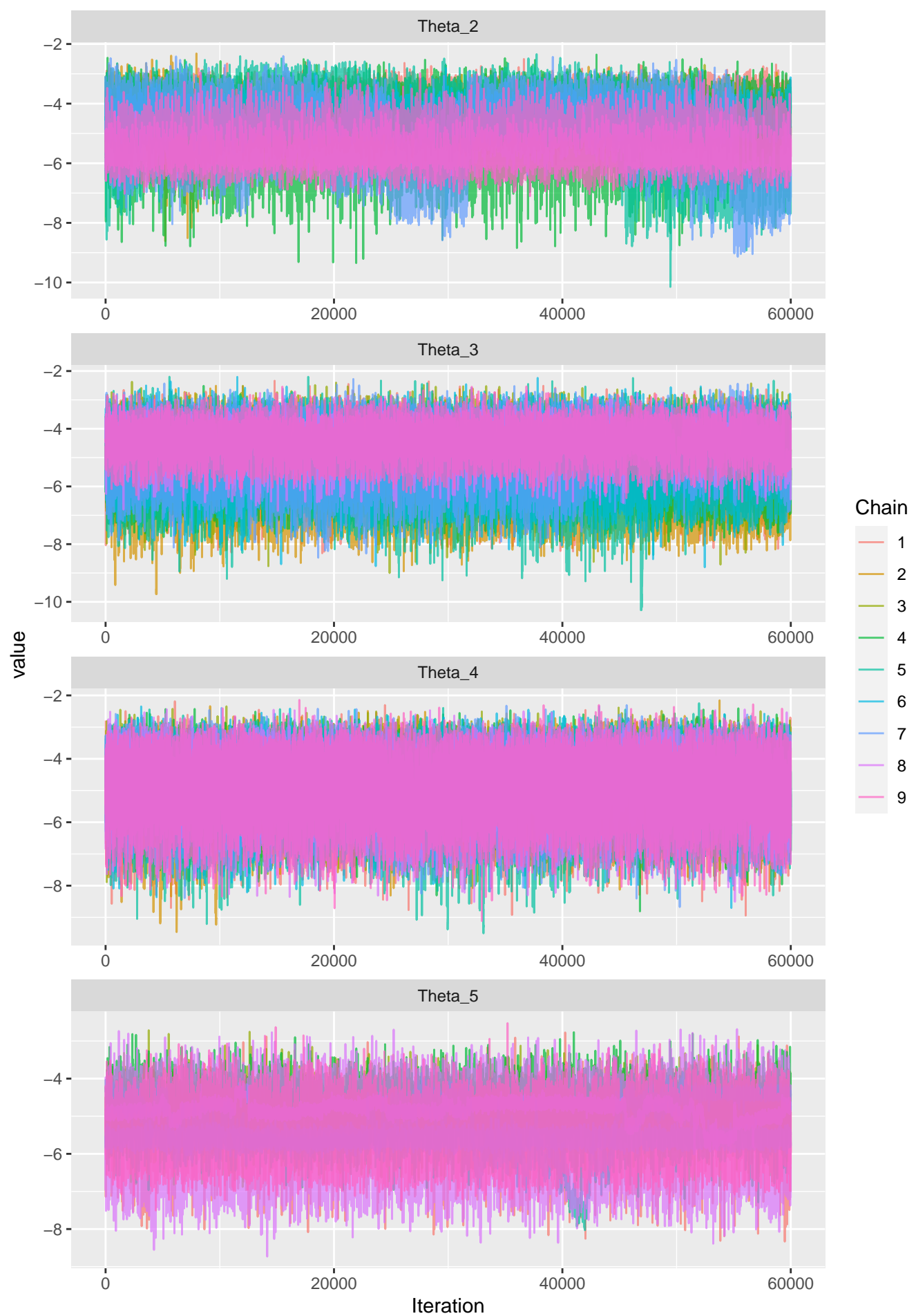












Potential Scale Reduction Factors

